

論 文

熔鉄-熔滓間のクロムの分配平衡*

新実穏生**・松下幸雄***・金森九郎****

DISTRIBUTION EQUILIBRIUM OF CHROMIUM BETWEEN MOLTEN PIG IRON AND SLAG

Toshio Niinomi, Yukio Matsushita and Kuro Kanamori

Synopsis:

(1) A study was carried out on the reduction equilibrium of chromium between molten pig iron ($Fe-C_{sat.}-Cr [1\%]$) and molten slag of blast furnace type ($CaO-SiO_2-Al_2O_3-CrO$), at the temperature range of $1350\sim 1500^\circ C$ and the slag basicity CaO/SiO_2 ranging from 0.6 to 1.4, under one atmospheric pressure of carbon monoxide.

(2) From the fact that the rate of reduction of chromium from slags to pig iron was relatively rapid, the partial equilibrium concerning chromium seemed to have been obtained between two phases.

(3) The chromium oxides in slags was presumably mainly present in the form of CrO , judging from their coloured blue-black. The apparent partition ratio of chromium $\%\text{CrO}/\%\text{Cr}$ between pig iron and slags was appreciably decreased as increasing the basicity upto $CaO/SiO_2 \approx 1$, in other words the activity coefficients of (CrO) should be much affected by the slag compositions.

(4) The relation between $\log \%\text{CrO}/\%\text{Cr}$ and $1/T$ ($T: ^\circ K$) was linear and parallel for each slags, the basicity of which ranged from 0.6 to 1.0.

(5) The $Cr-O$ equilibrium relation in pig iron was introduced utilizing the above results and some other thermodynamical data, and we emphasized that the favorable conditions to eliminate chromium should be reduced to two main factors of 1) more acidic slags and 2) lower temperatures.

I. 緒 言

ラテライト系鉱石は鉱量 200×10^3 ton と称せられているが、Cr を含有することもその原因の一つとなつて鉄鉱石として活用される段階に達していない。すなわち通常の熔鉱炉操業法では鉱石中の Cr が 100% 近く還元されて銑鉄中に入り、製鋼作業に支障をきたす。熔鉱炉湯溜吹精法¹⁾はこの資源の開拓に対する一つの解決策を提供するものであろう。

熔鉱炉湯溜部において熔鉄を酸素吹精し、さきに還元されて銑鉄中に入っている Cr を再び酸化し、スラッグ中に除去しようとするのが熔鉱炉湯溜吹精法の狙いである。

鉄鋼製鍊における Cr の挙動は、特に特殊鋼熔製における Cr 歩留の向上を目的とするような、主として酸化性雰囲気に対して関心が払われ、これ等に関しては多くの研究成果をみるのであるが、これを酸化ポテンシャ

ルの非常に低い、従つてスラッグ中の FeO の活量も小さく、Cr の原子価もより低級な形で存在するのではないかと考えられ、同時にスラッグ組成、熔鉄中の C, Si 等の共存元素の濃度も著しく相違する熔鉱炉内のような強還元性雰囲気の条件まで拡張するには一考を要するところであろう。

一方還元性雰囲気における Cr の分配平衡については²⁾あまり知られていないので、熔鉱炉湯溜吹精法による脱クロム法の基礎的知識を得る意味で本実験を行つたのである。

II. 予 備 実 験

後述の実験条件とほぼ同じ要領で、タンマン電気炉雰

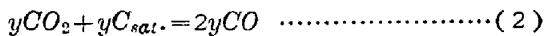
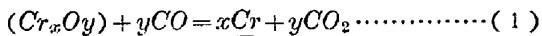
* 昭和 29 年 10 月本会講演会にて発表

** 東京大学生産技術研究所第 4 部

*** 東京大学助教授

**** 東京大学教授

囲気中で含CrスラッジとC飽和鉄を黒鉛坩堝中で熔解反応せしめれば次の反応が進行する。



$$\text{または } yCO_2 + y\bar{C}_{gr.} = 2yCO \quad (2')$$

ここで括弧はスラッジ相を示し、アンダーラインはメタル相を示することにする。また sat. および gr. の添字はそれぞれ飽和状態および黒鉛相を意味している。

この結果スラッジ相中のCrは還元されてメタル相中に移る。この反応の時間的経過の一例をFig. 1に示す。

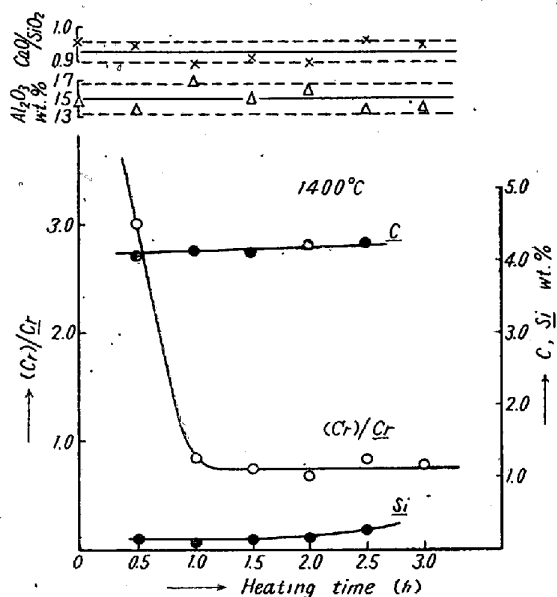


Fig. 1. Time required to reach equilibrium

ただしこれは、 $\text{CaO}/\text{SiO}_2 \approx 1$ の $\text{CaO}-\text{SiO}_2-\text{Al}_2\text{O}_3-\text{CrO}$ 系合成スラッジを用いた 1400°C の熔解例である。Crの還元反応はかなり急速に進み、 1400°C ではほぼ1h後にはスラッジ-メタル間のCrの分配率(註)は一定となり、一応上記反応についての部分的平衡状態が得られていると考えられる。この間スラッジ浴の状態を観察すると、反応開始後約30mn間は気泡が主として坩堝周辺に発生するのを見るが、その後は鎮静された浴となる。なお合成スラッジは一度予備熔解して、ほとんど気泡を取り除いたものを使用している。

本系のような複雑な多元多相反応系に熱力学的手法を適用することができるのは、次の2つの場合である。

(イ) 反応系内のすべての成分が、各相において互いに平衡している完全平衡状態が達成されている場合。

(註) メタルにはCrを添加していないので装入されたスラッジ中の $\Sigma(\text{Cr})$ から反応後の $\Sigma(\text{Cr})$ を差引いて \bar{Cr} 量とした。

(ロ) 反応系内において、いずれか一つの反応速度が非常に速く、他の反応がほとんど進行していない状態でその反応が一応平衡状態に達しているような、いわゆる部分的平衡状態にある場合。

この2者のいずれをとるかは、実験目的、実験条件、実験の正確度等を考慮した上できめなければならない。

珪酸塩スラッジ構成成分の還元反応を取扱う場合には、必然的に SiO_2 の還元が副反応として起るであろう。然しこの還元速度は非常に遅いといわれ³⁾、この例でも2hの反応時間ではメタル中のSiはほとんど増加していない。スラッジ組成の変動はFig. 1 上方にみられるように、5%の有意水準では有意に変動しているとはいえない。本実験の精度内においては実験誤差として考えるのが妥当であろう。熔鉄中のCの溶解度はCr含有量の増加により大きくなるといわれるが、この場合は \bar{Cr} の増加もたかだか1%にすぎず、はつきりしたC溶解度の増加を認めることはできなかつた。

結局、この反応系内においては(1)、(2)または(2')式の平衡のみが成立しており、副反応の生起を無視することができよう。すなわちCrに関する部分的平衡状態が得られていると考えられる。本実験では1気圧のCOガス下において、 (Al_2O_3) 、 \bar{Cr} 濃度を一定に保ておきスラッジ塩基度、温度がどのようにCrのスラッジ-メタル間の分配率に影響をおよぼすかを調べた。

III. 試 料

(1) 銑鉄: C: 0.004, Si: 0.001, Mn: 0.01, P: 0.008, S: 0.008, Cu: 0.03%の組成をもつ電解鉄をエメリーペーパーによる研磨、酸洗によって表面を清浄にし、人造黒鉛坩堝を用い、黒鉛粉末によって表面を覆つて、タンマン電気炉中に熔解し、ほぼ4%に加炭した後、鋳造してFe-C合金を得たが、以後これを銑鉄と呼ぶことにする。

(2) スラッジ: 化学用純酸化物または炭酸塩粉末を充分に混合し、黒鉛坩堝を用いたタンマン電気炉で熔製した。この合成スラッジの組成をTable 1に示す。ここで Al_2O_3 は15%と一定に抑え、酸化クロムは Cr_2O_3 を用い、この形では3%に配合し、塩基度 CaO/SiO_2 を0.6から0.2おきに1.4まで変えた。

こうして得た合成スラッジを粉碎し、再び加熱焼結して実験に供した。

IV. 実 験 方 法

(1) 実験装置 Fig. 2に実験装置の概要を示す。

Table 1. Chemical compositions of synthetic Slags (wt. %).

Slag designation	CaO	SiO ₂	Al ₂ O ₃	ΣCr	FeO	CaO / SiO ₂
VC6	31	51	15	2.04	—	0.6
V08	36.45	46.10	15.17	1.69	0.29	0.79
V10	41.20	41.39	15.62	2.04	0.36	0.99
V12	45.64	38.24	15.42	1.81	0.29	1.19
V14	48.79	34.32	15.48	1.77	0.32	1.42

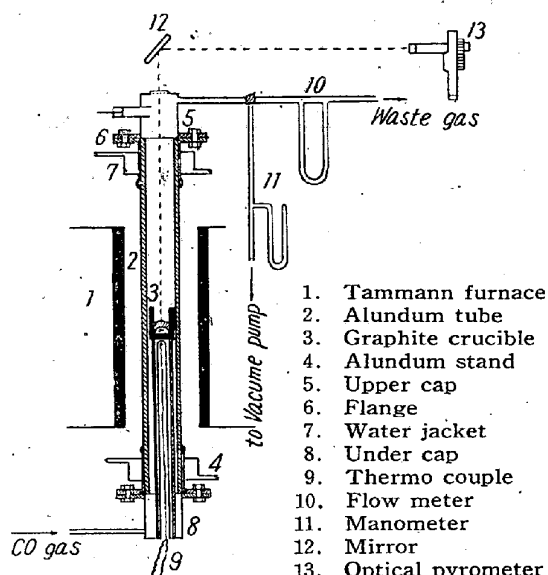


Fig. 2. Experimental Apparatus.

タンマン電気炉中にセミジンターコルンド質またはアランダム質の反応管(外径37mm ϕ × 内径30mm ϕ × 長さ500mm)を挿入する。この管の上下には、反応管に無機セメント、自転車用チューブで固定した黄銅製フランジ接手により上蓋、下蓋が取付けられる。上蓋の枝管はピストン式のスラッガ投入器である。タンマン電気炉中には約50mmにわたる等温部($\pm 10^{\circ}\text{C}$)があるので、この部分に黒鉛坩堝(外径26mm ϕ × 内径20mm ϕ × 高さ50mm)をアランダム管の坩堝支持台の上に水平におく。

(2) 実験操作: まず空焼きして揮発分を除去した黒鉛坩堝に銑鉄約5~8gを入れて反応管中におく。銑鉄量は平衡組成において $\text{Cr} \approx 1\%$ になるように加減する。また上蓋枝管にはスラッガ約5~6gを挿入しておく。

ここで加熱を開始し、約1000°Cに達した時に反応管内をほぼ1mmHgまで減圧した後、大気圧のCOガスに置換する。COガスは蟻酸を熱硫酸上に滴下して発生せしめ、貯蔵壠に貯えておく。これを苛性カリ、ピロガロールアルカリ溶液で洗滌し、塩化カルシウム、無水磷酸で脱水して反応管に導く。引続いて30~40cc/mnの

流量でCOガスを通じながら加熱を続け、実験温度に達した後約10mnそのままに保つて熔鉄にCrを飽和せしめ、上蓋枝管に挿入しておいたスラッガを投入する。この時スラッガは数分間で実験温度に達する。この時から所要時間、実験温度を保持し、反応を進行せしめてCrについての平衡を達成させた後坩堝ごと炉外に取り出し水冷する。

熔解時間は前述の予備実験により1350°Cで1h40mn、1425°C 1h 20mn、1500°Cで1hと定めた。熔解時間が長過ぎることは副反応が進行するので好ましくない。なおスラッガ投入操作は微細なスラッガ粉末が反応管壁に飛散附着して反応管を傷めることがあつたので中止し最初からスラッガを銑鉄上に装入しておき、スラッガ表面が実験温度に達してから所要時間保持するように、途中より操作を変更した。温度測定には光高温計を用いたがPt-Pt·Rh熱電対により炉底温度を10~20mnおきに測定し、これにより読みを補正しながらスラッガ表面温度を上蓋の観窓を通して観測した。10mnおきにこの読みを記録したが、温度保持は、たかだか標準偏差 $\pm 13^{\circ}\text{C}$ 以内で行われている。

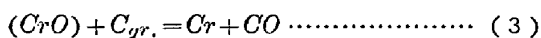
(3) 試料分析: 銑鉄中のCrは日本標準規格法に準じ、Siは光電比色法を用いて分析した。スラッガ中のCrは学振第2法により ΣCr として分析し、CrOに換算した。FeOは日本標準規格法によつた。その他のスラッガ成分組成は予備実験やその他の経験によつて有意に変動しているものと認められなかつたので分析を省略し、配合組成を以つて平衡達成時におけるスラッガ組成に代用した。

V. 実験結果とその考察

スラッガ中におけるCr酸化物としては、スラッガ組成、酸素ボテンシャルによつて Cr_2O_3 、CrOの2者が考えられている。Körber & Oelsen⁴⁾は酸性平炉滓の色調、顕微鏡組織を詳細に検討して、スラッガの色が青黒色を呈していることから、Cr酸化物はCrOの形をとると考え、Zapffe⁵⁾も同様の結論を得ている。さらに塩基性スラッガにおいてもCrOの存在がP. Bremerによつて認められたと報ぜられている⁶⁾。化学分析的にもKörber & Oelsen⁴⁾、前川氏⁷⁾によつてCrOの存在を示唆されている。以上の結論は鋼滓すなわちFeO活量のかなり高い場合について得られたものである。本系のように1気圧のCOガス下という強還元性雰囲気ではCrはCrOとして存在するものと考えられる。この実験で得たスラッガは水冷によりすべてガラス状に凝固し

ており、色は青藍色ないし青黒色である。しかもこれ等を再熔解し空気中に放冷するとか、スケールを熔融スラグ上に落して強制的に酸化を行う時、その表面は極めて特徴的な Cr_2O_3 の緑色を呈して内部の青藍色とは顕著な相違を生ずる。

結局、スラッガーメタル間の反応としては、



$$K^{cr-c} = \frac{acr \cdot P_{co}}{acr, a_{(cr0)}} = \frac{acr}{a_{(cr0)}}$$

この場合厳密には Boudouard 平衡 (2') 式を考えなければならないが、黒鉛の存在において 1350°C 以上の高温では CO_2 の存在は無視でき、また CO ガスの流速があまり大きくなないので、逃出する CO_2 についても

Table 2. Experimental results.

Temperature	Heat number	Analyses (wt. %)				Distribution ratio of Cr
		Cr	Si	(CrO)	(FeO)	
1350°C	V 0635-1	0.63	0.40	1.64		2.60
	" -2	0.83	0.13	1.61		1.94
	" -3	0.97		2.15		2.22
	mean	0.81		1.80		2.22
	V 0835-1	1.08	0.34	0.89	0.32	0.82
	" -2	1.06	0.20	0.94		0.89
	" -3	1.06		0.94		0.89
	mean	1.07		0.92		0.87
	V 1035-1	1.25	0.20	0.81		0.65
	" -2	1.32	0.20	0.63		0.48
	mean	1.28		0.72		0.56
	V 1235-1	1.13	0.05	0.63		0.56
1425°C	" -2	0.87	0.30	0.56	0.32	0.64
	mean	1.00		0.60		0.60
	V 0642-1	1.00	0.30	1.33	0.45	1.33
	" -2	1.08	0.34	1.46	0.36	1.35
	mean	1.04		1.40		1.34
	V 0842-1	1.08	0.30	0.69	0.24	0.64
	" -2	1.04	0.23	0.61		0.59
	mean	1.06		0.65		0.62
	V 1042-1	1.19	0.25	0.33		0.28
	" -2	1.25	0.14	0.42		0.34
	" -3	1.30		0.24		0.18
	mean	1.25		0.33		0.26
1500°C	V 1242-1	1.22	0.37	0.18	0.38	0.15
	" -2	1.34	0.41	0.27	0.43	0.20
	" -3	1.18		0.18	0.30	0.15
	mean	1.25		0.21		0.17
	V 1442-1	1.21	0.43	0.46	0.39	0.38
	" -2	1.04		0.48	0.50	0.46
	mean	1.12		0.47		0.42
	V 0650-1	1.00	0.32	0.63	0.47	0.63
	" -2	1.03	0.33	0.65		0.63
	" -3	0.87		0.63		0.72
	mean	0.97		0.64		0.66
	V 0850-1	1.16	0.34	0.39		0.34
	" -2	1.30	0.20	0.35		0.27
	" -3	1.33		0.41		0.31
	mean	1.26		0.38		0.30
	V 1050-1	0.94	0.31	0.17		0.18
	" -2	1.14	0.25	0.19		0.17
	mean	1.04		0.18		0.18
	V 1250-1	1.23	0.18	0.13	0.20	0.11
	" -2	1.30	0.24	0.13	0.25	0.10
	mean	1.26		0.13		0.10
	V 1450-1	1.38	0.32	0.19	0.22	0.14
	" -2	1.04	0.35	0.14	0.20	0.13
	" -3	1.23		0.15	0.20	0.12
	mean	1.22		0.16		0.13

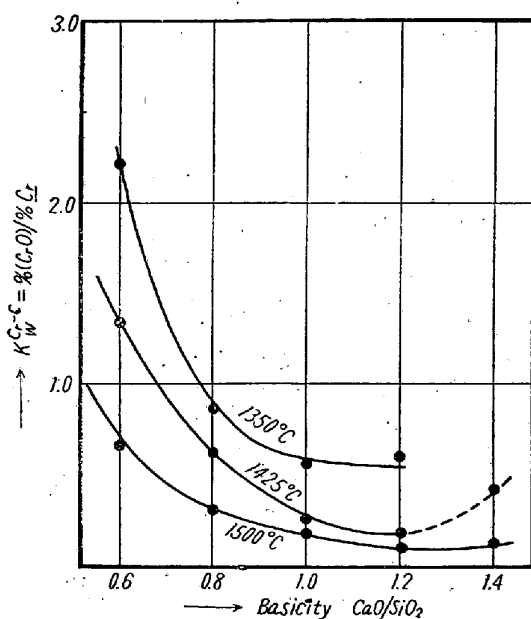


Fig. 3. Effects of basicity and temperature on chromium distribution.

考る必要はなく、(3) 式だけを考えれば充分であろう。ここで温度とスラッグ塩基度の2元配置による実験結果を Table 2 に示し、併せて Fig. 3 に図示しておく。

(1) Cr の分配率に対する塩基度の影響

(3') 式の逆数をとり、さらに活量を重量%に書き換えた濃度平衡恒数を K_w^{Cr-C} で示す。

$$K_w^{Cr-C} = \frac{\% (CrO)}{\% Cr} \quad \dots \dots \dots (4)$$

さて Fig. 3 に見られるように K_w^{Cr-C} の値はスラッグ塩基度によつて著しく変化する。鉄鉱中の Cr 濃度はすべてほぼ 1% となるように抑えてあるので、Cr の活量係数は一定と見做して差支えない。それ故単位の Cr 濃度に平衡するスラッグ中の (CrO) 濃度の変化すなわち見掛け上の分配率の変化は (CrO) の活量係数がスラッグ塩基度によつて影響を受けることに因るのである。 (CrO) の活量係数 $f_{(CrO)}$ に対する塩基度の影響は $CaO/SiO_2 < 1$ の範囲で顕著にあらわれており、 $f_{(CrO)}$ は塩基度の高くなるにつれて急速に大きくなる。 $CaO/SiO_2 > 1$ に至るとこの塩基度の影響は緩和され、さらに塩基度が高くなれば $f_{(CrO)}$ は再び減少しはじめるかに見えるが、このような高塩基度側のスラッグはその熔融点が急上昇するために充分の実験を行い得なかつた。

然しながら、珪酸塩スラッグ中における FeO の活量³⁾もその塩基度によつて上記と同じように変化することが認められている。坂上氏⁹⁾は熔融スラッグの電気化

学的研究を行い、その結果から次のように述べている。“スラッグ構成成分の中で最強力酸性成分 SiO_2 、最強力塩基性成分 CaO に対して、 Al_2O_3, MgO のような第3成分は $CaO/SiO_2 \approx 1.0 \sim 1.1$ の中性点を境にして高塩基度側では酸性を呈し、低塩基度側では塩基として作用する一いわゆる両性酸化物として振舞う”。

本実験の結果をみると、 CrO もその境界点は明らかでないが $CaO/SiO_2 \approx 1.1$ 近傍を境に、酸或いは塩基として挙動するのであろう。Plöckinger¹⁰⁾ が鋼滓中の Cr 酸化物は $CaO/SiO_2 < 1$ の時には $CrO, CaO/SiO_2 > 2$ の時には Cr_2O_3 として存在すると考えていることも上に述べたことに対応している。

(2) 温度の影響

同一塩基度においては温度が高くなるほど K_w^{Cr-C} の値は小さくなる。 K_w^{Cr-C} と温度の関係を Fig. 4 に示したが、 $CaO/SiO_2 < 1$ の時には各塩基度ともほぼ平行な直線関係を示している。

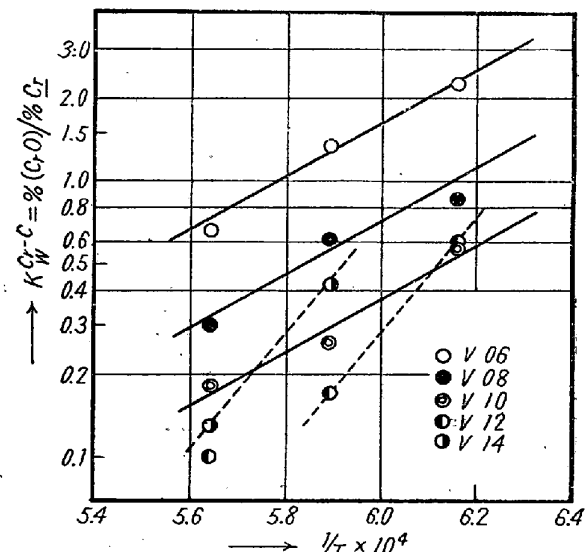


Fig. 4. Relation between the reciprocal of absolute temperature and chromium distribution in several slags.

(3) 热力学的計算

Cr の存在する熔鉄中に酸素吹精すれば Cr は酸化されスラッグ中に除去できる。



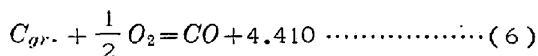
$$K_w^{Cr-C} = \frac{a_{(CrO)}}{a_{Cr} \cdot a_O} \quad \dots \dots \dots (5')$$

$$K_w^{Cr-C} = \frac{\% (CrO)}{\% Cr \cdot f_O \% O} \quad \dots \dots \dots (5'')$$

脱 Cr 反応は上の平衡関係によつて制約される。或

る Cr 濃度において脱 Cr を行うとすれば、その Cr 濃度に平衡する O 濃度より過剰分を与えなければならぬ。それ以下の O 量では脱 Cr は不可能である。勿論この O 量はスラッジの存在下においては、スラッジ中における (CrO) の活量によって大きな影響を受ける。(CrO) の活量係数はスラッジ組成によつて著しく変化するからである。

今この熔銑中の Cr-O 平衡関係を本実験結果を基にして求めてみる。次の CO ガス生成反応、酸素の熔鉄に対する溶解自由エネルギーは既によく知られ、Basic Open Hearth-Steel-making に総括されている。



$$\log K = \log \frac{P_{CO}}{P_{O_2}^{\frac{1}{2}}} = \frac{6135}{T} + 4.410 \quad \dots \dots \dots (6')$$

$$\frac{1}{2} O_2 = O \quad \dots \dots \dots (7)$$

$$\log K = \log \frac{a_O}{P_O^{\frac{1}{2}}} = \frac{6157}{T} + 0.124 \quad \dots \dots \dots (7')$$

(6), (7) 両式から



$$\begin{aligned} \log K^{Cr-O} &= \log \frac{P_{CO}}{a_O} = \log f_o \% O \\ &= -\frac{20}{T} + 4.284 \quad \dots \dots \dots (8') \end{aligned}$$

(3), (8) 両式から (5) 式を誘導でき $Cr=1\%$ におけるその濃度平衡恒数 K_w^{Cr-O} が各塩基度について求められる。



(8)-(3)



$$K_w^{Cr-O} = K_w^{Cr-C} \times K_w^{C-O} = \frac{\% (CrO)}{\% Cr \cdot f_o \% O} \quad \dots \dots \dots (5'')$$

K_w^{Cr-C} と K_w^{C-O} から求めた K_w^{Cr-O} の値を Table

Table 3. Calculated values of $\log K_w^{Cr-O}$

3 に掲げた。

(5'') を書き換えれば

$$f_o \% O = \frac{\% (CrO)}{\% Cr \cdot K^{Cr-O} \cdot w}$$

となる。ここで $\% (CrO)/\% Cr$ を適当に与えてやれば、それに相当して $Cr=1\%$ に平衡して存在するべき O 濃度が求められる。ただしここで銑鉄中の酸素の活量係数 f_o の値を知る必要がある。熔鉄中の酸素は共存元素の影響によつてその活量係数が変つてくるからである。現在取扱つている Fe-Cr-C-O 系熔鉄については、稀薄溶液¹²⁾と同様に考えることが許されるものとすれば次式が成立する。

$$f_o = f_o^o \cdot f_o^{Cr} \cdot f_o^C$$

ここで、 f_o はこの熔鉄中の酸素の活量係数、 f_o^o は¹³⁾ Fe-O 二元系熔鉄中の酸素の活量係数であつて、酸素飽和濃度まで 1 とおける。 f_o^{Cr} は Fe-Cr-O 三元系熔鉄における酸素の活量係数で Cr と O の間の相互作用の大きさを示す尺度になる。 f_o^C も同様に Fe-C-O 三元系熔鉄における C と O の間の相互作用を示す。この f_o^{Cr} 、 f_o^C については既に Fig. 5¹³⁾のように与えられているので、

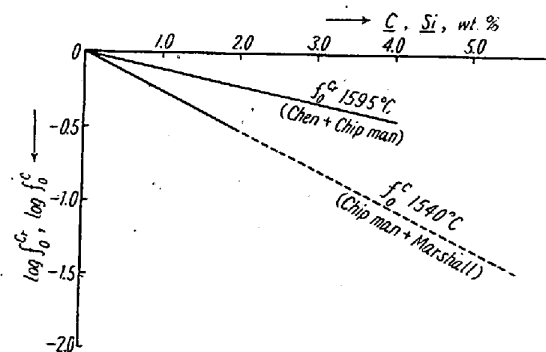


Fig. 5. Influence of added elements on the activity coefficient of oxygen in liquid iron.

温度による影響を無視し、かつ f_o^o と C 濃度の関係は C 鮫濃度まで外挿できるものと仮定すれば、1350~1500 °C の各温度における $Cr=1\%$ 、C 鮫濃度熔鉄中の f_o が計算できる、ただし C の溶解度は Cr の存在による影響を無視し、Schichtel-Piwowarsky の値を用いた。

こうして求めた $(CrO)/Cr=1$ における $Cr=1\%$ と平衡すべき O 濃度とスラッジ塩基度、温度の関係を Fig. 6 に示した。この図から脱 Cr の条件としては、酸性低温度操業が好ましいといえるが、さらに高塩基度のスラッジ組成においても脱 Cr の好条件が成立するよう見えることは、脱硫の問題とも考え合せて興味深いが現在

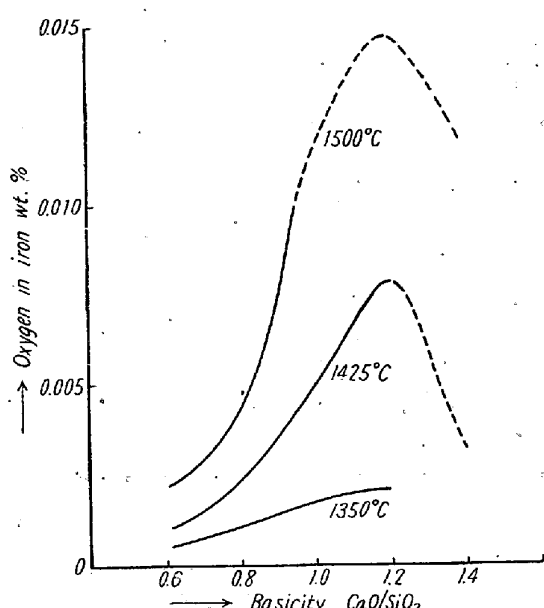


Fig. 6. Effects of basicity on oxygen equilibrium with chromium dissolved in pig iron at $(\text{CrO})_{\text{sat}} = 1\%$.

の段階ではこれについての確かな結論を下すことはできない。

VI. 結 論

(1) 大気圧の CO ガス下において熔銑 (Fe-C_{sat}-Cr[1%]系)-熔滓(CaO-SiO₂-Al₂O₃-CrO系) 間のCrの還元平衡($\text{CrO} + \text{C}_{\text{gr.}} = \text{Cr} + \text{CO}$)に対する温度、スラッジ塩基度の影響を $1350 \sim 1500^{\circ}\text{C}$, $\text{CaO}/\text{SiO}_2 = 0.6 \sim 1.4$ の範囲にわたって調べた。

(2) Cr の還元反応はかなり急速に進行し、 SiO_2 の還元などの副反応はほとんど進まない中に、Cr に関する部分的平衡が成立する。

(3) スラッジ中の Cr 酸化物はスラッジの色調から考えて CrO の形で存在すると考えるのが妥当である。熔銑-熔滓間の Cr の見掛けの分配率%($\text{CrO})/\%_{\text{Cr}}$)はスラッジ塩基度 CaO/SiO_2 が高くなるにつれて急激に小さくなるが、 $\text{CaO}/\text{SiO}_2 > 1$ に至ればその変化は顕著でない。すなわち酸性スラッジ内においては $f_{(\text{CrO})}$ はスラッジ組成によつて著しい影響を受けるのである。

(4) Cr の分配率%($\text{CrO})/\%_{\text{Cr}}$)の対数と $1/T$ ($T: ^{\circ}\text{K}$) は $\text{CaO}/\text{SiO}_2 < 1$ の各スラッジはともに平行

な直線関係を示す。

(5) 2, 3 の熱力学データを利用して熔銑中の $\text{Cr}-\text{O}$ 平衡関係を求め、脱 Cr 反応条件として酸性、低温度の条件が好ましいことを明らかにした。

本実験に際して化学分析に多大の御援助を頂いた東都製鋼株式会社技術部の方々、卒業実験として熱心に協力された高松利男氏に深甚の謝意を表する。なお本研究費の一部は昭和 28 年度文部省科学研究費によつたことも附記し併せて感謝の意を表する次第である。

(昭和 30 年 4 月寄稿)

文 献

- 1) 金森研究室: 鉄と鋼, 40 (1954) 7 615
- 2) 保本: 熔鉢炉製鉄法, (1954) 81 頁
- 3) P. Ischebeck & J. Willems: Arch. Eisenhüttenw. 23 (1952), 1/2, 1
- 4) J. C. Fulson & J. Chipman: J. Metals, 6 (1954), 10, 1136
- 5) J. C. Fulton, N. J. Grant & J. Chipman: J. Metals 5 (1953) 2, 185
- 6) F. Körber & W. Oelsen: Mitt. Kais.-Whilh Inst. Eisenforschg, 17 (1953), 231
- 7) C. A. Zapfe: Trans A.S.M. 38 (1947), 114
ibid. H.M. Chen & J. Chipman: Cr-O Eqil. in Liquid Iron に対する Discussions,
- 8) O. A. Esin & N. A. Vatolin: Izvest. Akad. Nauk, USSR, Otdel. Tekhn. (1953), 8, 1137
- 9) 前川, 菊地: 鉄と鋼, 38 (1952), 1, 31
- 10) E. T. Turkdogan & J. Pearson: J. Iron & Steel Inst. 173 (1953) 3, 217
- 11) E. Plöckinger: Archiv. Eisenhüttenw. 22 (1951), 9/10, 283
- 12) Basic Open Hearth Steelmaking: AIME, (1951), 638, 646
- 13) J. A. Kitchener: Iron & Steel, 27 (1954), 13, 553
- 14) Basic Open Hearth Steelmaking に総括されている; pp. 646~676